



**BION, A BIOELEKTROMÁGNESÉG ÉS ÚJ BIOLÓGIA INTÉZETE KFT.**

Stegne 21, SI1000 Ljubljana, Slovenia  
t: +386 (0)1 513 11 46 f: +386 (0)1 513 11 47  
e: info@bion.si i: www.bion.si

## **A BIOPROTECTOR EGÉSZSÉGHARMONIZÁLÓ TERMÉKVIZSGÁLATÁNAK EREDMÉNYEI ÉS KÖVETKEZTETÉSEI**

---

A vizsgálat megrendelője:  
DNM EXPORT IMPORT Kft  
Kastelëva 5, 8000 Novo Mesto

A vizsgáló intézmény:  
Institut Bion, d.o.o.  
Stegne 21, Ljubljana, Slovenija

2010/07/07

---

### **A KUTATÁS TÁRGYA, CÉLKITŰZÉSEI ÉS MÓDSZEREI**

A kutatás elsődleges célkitűzése tudományos statisztikai vizsgálatok elvégzése volt a **BIOPROTECTOR EGÉSZSÉGHARMONIZÁLÓ** termék (röviden **BIOPROTECTOR**) biofizikai és biológiai hatásainak megállapítása céljából

A következő vizsgálatokat végeztük el:

- elektrofotográfia,
- biológiai érzékelő rendszer,
- az emberi biomezőben (testmezőben) bekövetkező változások mérése az Emadel módszer segítségével,
- érzékeny önkéntesekben végzett vizsgálatok.

Jelen kutatással szeretnénk megállapítani, hogy a **BIOPROTECTOR EGÉSZSÉGHARMONIZÁLÓ** rendelkezik-e biológiai hatásokkal, valamint képes-e közvetlenül megváltoztatni a víz tulajdonságait.

### **EREDMÉNYEK**

#### **DIGITÁLIS ELEKTROFOTOGRAFIA**

---

A digitális elektrofotográfia (electrophotography, EP) a Bion Intézet által kifejlesztett, tudományosan megalapozott módszer. Részletes információ megtalálható a kutatási közleményekben (pl. Berden, Jerman, Scissors. Electro és Magnetobiology Vol.16 / 3, 1997).

A Bion Intézet egy speciális rendszert fejlesztett ki kizárólag az elektrofotográfia részére, amely (képen) rögzíti a vízcseppeket körülvevő koronát rendszeres kibocsátások között. A módszer lényege az, hogy a finom elektromágneses terek bizonyos „lenyomatot” hoznak létre a vízben, ezzel egy „nyomot” hagynak a vízcseppen, amely különböző mintájú koronát bocsát ki. Emiatt mielőtt elkészítenénk a képeket, vízporharakat teszünk a vizsgálat helyére, és egy megfelelő módszer segítségével „tájékoztatjuk” a vizet. Kontrollnak azonos, de a kutatási módszertnek nem kitett vizet használtunk.

A megragadt képeket a számítógéphez továbbítják feldolgozás, valamint standard és speciálisan erre a célra kifejlesztett szoftverrel végzett elemzés céljából. A koronakibocsátás-minta jellemzőit megfelelő paraméterekkel jelölik meg, melyeket számítógépes elemzés keretein belül kalkulálnak és összehasonlítanak. Ezek a paraméterek adják minden kép legfontosabb anguláris (szögletes), radiális és általános jellemzőit. A kezelt és a kontroll víz közötti különbségeket minőségi és mennyiségi szempontok alapján értékelik. Az eredmények jelentőségét (szignifikancia szintjét) statisztikai módszerekkel állapítják meg.

A digitális elektrofotográfiai vizsgálat során összehasonlítottuk a **Bioprotector** hatásainak kitett vizet a kontroll vízzel, valamint desztillált vízzel (második kontroll termék). Mindegyik mintából 30 vízcseppképet rögzítettünk (összesen 90 képet), melyeket számítógéppel dolgoztunk fel. Ezután megfelelő módszerekkel elemeztük és értékeltük az eredményeket.

A képfeldolgozás a különböző fényerő és szerkezeti paramétereket mutatja. A fényerő paraméterek leginkább a vizsgált víz biomezejének (testmezejének) energetikai aspektusait mutatják. Ezzel szemben, a strukturális paraméterek a víz információtartalmának alapvető jellemzőit mutatják. Az egyes paraméterek közötti különbségeket megfelelő statisztikai módszerekkel dolgoztuk fel.

**Az alábbi ábrák a víz közötti különbségeket szemléltetik. Az 1. és 2. ábra a fényerők közötti különbségeket, míg a 3. és 4. ábra a szerkezeti paramétereket mutatja.**

Az 1. és a 3. sz. ábra az eredmények közötti különbségeket mutatják (magasabb / alacsonyabb paraméter érték) az összehasonlított vizek különböző paramétereiben. A 2. és a 4. sz. ábra a standard eltéréseket (differenciákat) mutatja (a standard hibával együtt) az összehasonlított vizek különböző paramétereiben. Az eredményeket piros pöttyök ábrázolják pozitív különbség esetén (a pár első vízének paraméter-értéke magasabb, mint a második vízé). Meg van jelölve (1,5 értékkel) azon pont megközelített értéke, amelynél az egyéni különbség szignifikánssá válik

Egy-egy paraméteren belül annál nagyobb a különbség, minél nagyobb a távolság a kék és a piros vonal között. A távolság a minták közötti különbséget szemlélteti, ahol az mintákat az egyes vonalak ábrázolják (ld. legenda). Minél közelebb áll a piros vonal a perifériához, átlagban annál magasabb az adott paraméter értéke, és fordítva.

Az 1. sz. ábra a vízcseppképek fényparaméterei közötti különbséget szemlélteti. A kontroll vonallal összehasonlítva, a **Bioprotector** esetén alacsonyabb a gyűrű fényereje és a sugár fényereje, és rövidebb a sugár. Ezek a különbségek statisztikailag is jellemzőek, mint látható a 2. sz. ábránál.

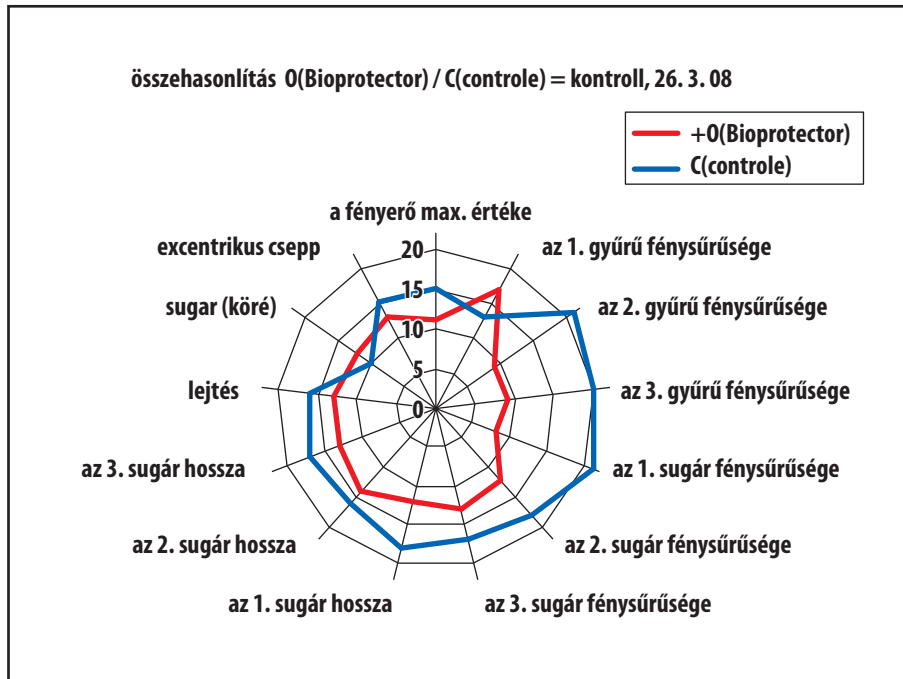
A strukturális paramétereknél a különbségek a 3. és 4. sz. ábrán láthatók. A **Bioprotector** esetén alacsonyabb 1., 2., 3. sugár kontrasztértéke (ezek a számok három különböző kritériumra vonatkoznak, melyek a fénysugarakat határozzák meg), nagyobb a 2. sugár szélessége, nagyobb az 1., 2., 3. sugár homogenitása, magasabb a sugár hasítás (ray split), amely csökken a 3. sugár irányába, alacsonyabb a hossz standard szórása (standard deviációja), nagyobb az 1., 2., 3. nyaláb szélessége, és nagyobb a 2. sugár szélessége.

A 4. ábrán statisztikailag szignifikáns különbségeket láthatunk, melyek alacsonyabb sugár-kontrasztot és az 1. sugár alacsonyabb szélességét, a hossz alacsonyabb standard szórását (standard deviációját), a nyaláb nagyobb szélességét, és a sugár nagyobb közös szélességét mutatják.

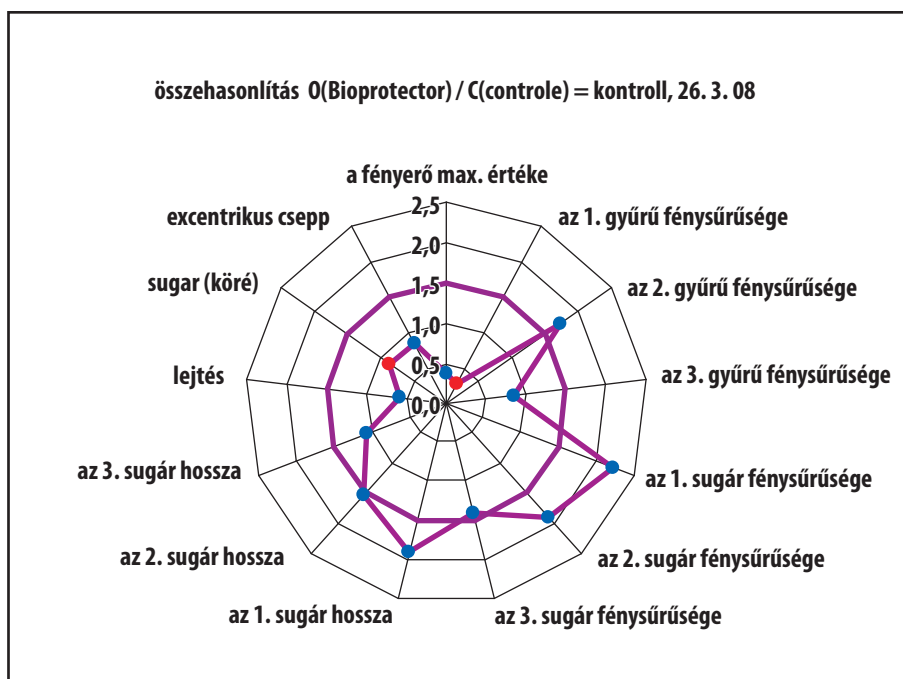
1.-4. sz. ábra:

Az 1. és a 3. sz. ábra az eredmények közötti különbségeket mutatják (magasabb / alacsonyabb paraméter érték) az összehasonlított vizek különböző paramétereiben. A 2. és a 4. sz. ábra a standard eltéréseket (differenciákat) mutatja (a standard hibával együtt) az összehasonlított vizek különböző paramétereiben.

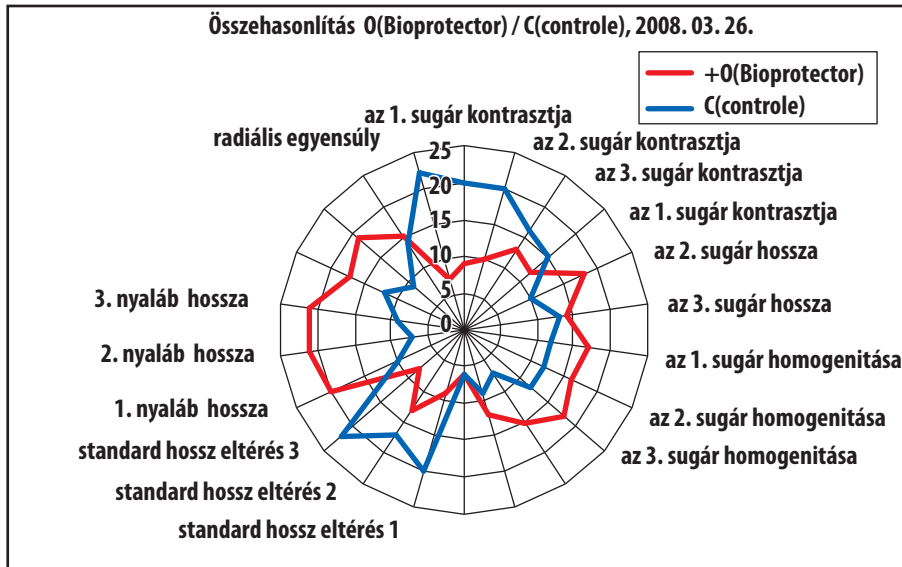
### 1. sz. ábra: A fényparáméterek közötti különbségek



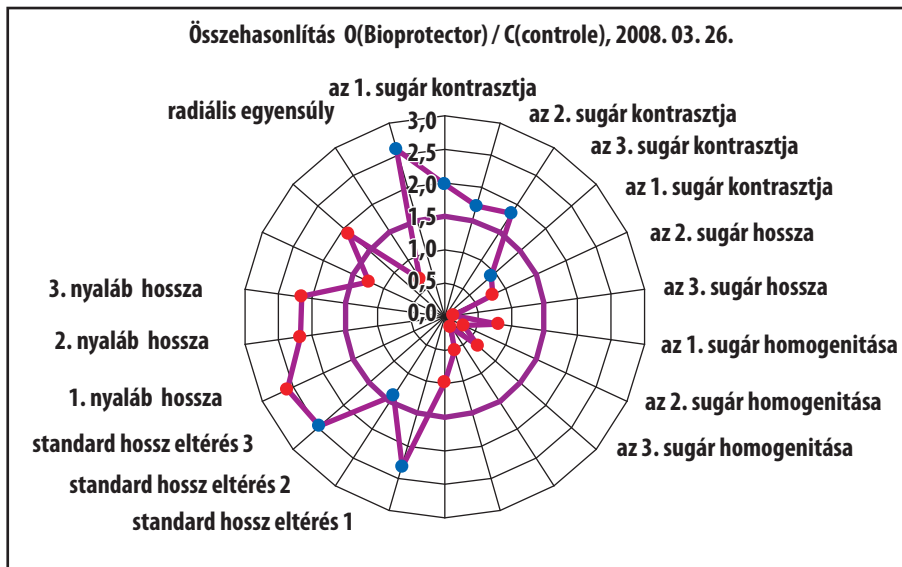
### 2. sz. ábra: – A fényparáméterek közötti különbségek



### 3. sz. ábra: A strukturális (szerkezeti) paraméterek közötti különbségek



### 4. sz. ábra: A strukturális (szerkezeti) paraméterek közötti különbségek



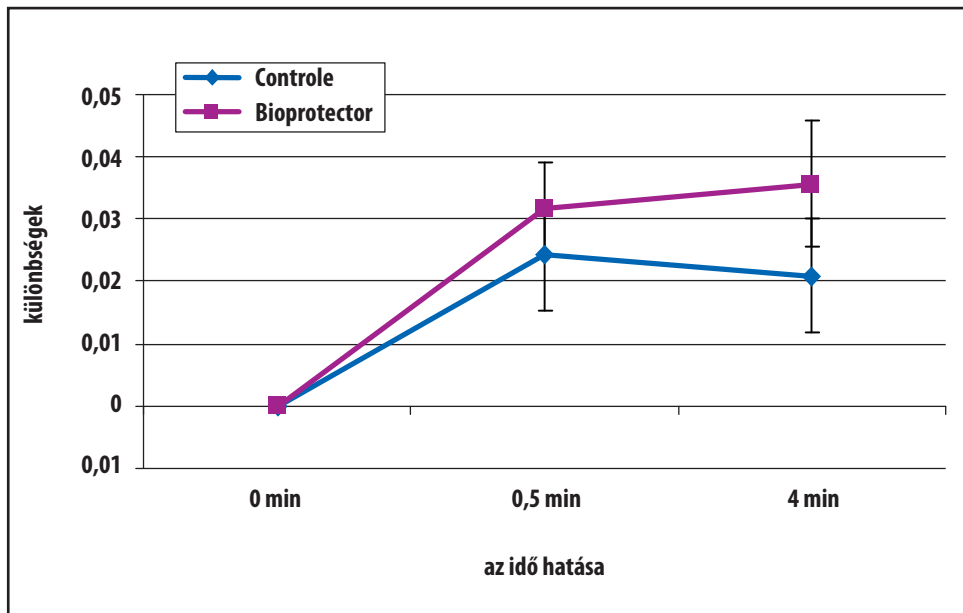
## AZ EMBERI BIOMEZŐRE (TESTMEZŐRE) GYAKOROLT HATÁS MÉRÉSE AZ EMEDEL MÓDSZER SEGÍTSÉGÉVEL

Megvizsgáltuk a **Bioprotector** az alábbiak alapján.

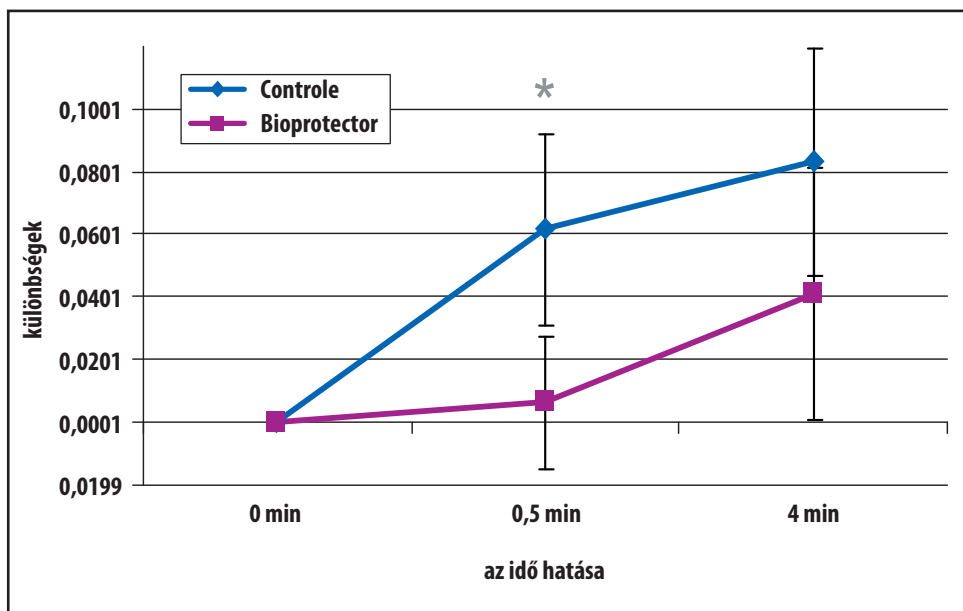
A **Bioprotector** lemezt tartalmazó, valamint üres kontroll kis dobozt helyeztünk a mérőeszközt magában foglaló szék alá. A vizsgálatban résztvevő emberek nem tudták mi van a dobozban. Két mérés között tértisztítást végeztünk el. Az Emedel módszerrel először a résztvevők (emberek) eredeti állapotát, utána a kontroll doboz, majd a **Bioprotector** doboz hatásának kitett emberek állapotát mértük. Összehasonlítottuk a méréseket és kiszámítottuk a statisztikai paramétereket

Kimutattuk, hogy a kontroll mérésekkel összehasonlítva, a jel (standard értékekben) általában kissé magasabb a **Bioprotector** alkalmazása után, és kis mértékben nőtt a kontakt méréseknél (ld. 5a és 5b ábra). Az első közvetlen kontakt (érintkezési) szenzor, a K3 eredményei mutatják, hogy van különbség a különböző (a termék alkalmazásának különböző időtartamára vonatkozó) mérések között, de a különbség szignifikancia szintje alacsony,  $p \leq 0.1$  környékén van. Csak a két mérés értékeit együttesen (az alkalmazás időtartama 0,5 és 4 perc), **Bioprotector** csoport jele magasabb a kontroll csoportnál. A második szenzor, a K4 eredményei alapján a 0,5 perces eredmények közötti különbség közel szignifikáns ( $p \leq 0,15$ ) (ld. 5b ábra). Ha a két időtartam (0,5 és 4 perc,  $p \leq 0.12$ ) értékeit együtt vesszük, a jel alacsonyabb, mint a kontroll csoportban

**5a. sz. ábra. A test biomezőjének kontakt (érintkezési) mérése a K3 szenzorral.** A jel változásának átlagértéke a **Bioprotector** jelenlétében. A függőleges fekete vonalak a mérések eredmények standard hibájának variabilitását ábrázolják az egyes vizsgált személyek közötti különbségekhez képest.



**5a. sz. ábra. A test biomezőjének kontakt (érintkezési) mérése a K4 szenzorral.** A jel változásának átlagértéke a **Bioprotector** jelenlétében. A függőleges fekete vonalak a mérési eredmények standard hibájának variabilitását ábrázolják az egyes vizsgált személyek közötti különbségekhez képest. A csillagok alacsony statisztikai szignifikanciát jeleznek két pont között a 0,5 perces méréseknél ( $p \leq 0,2$ ).

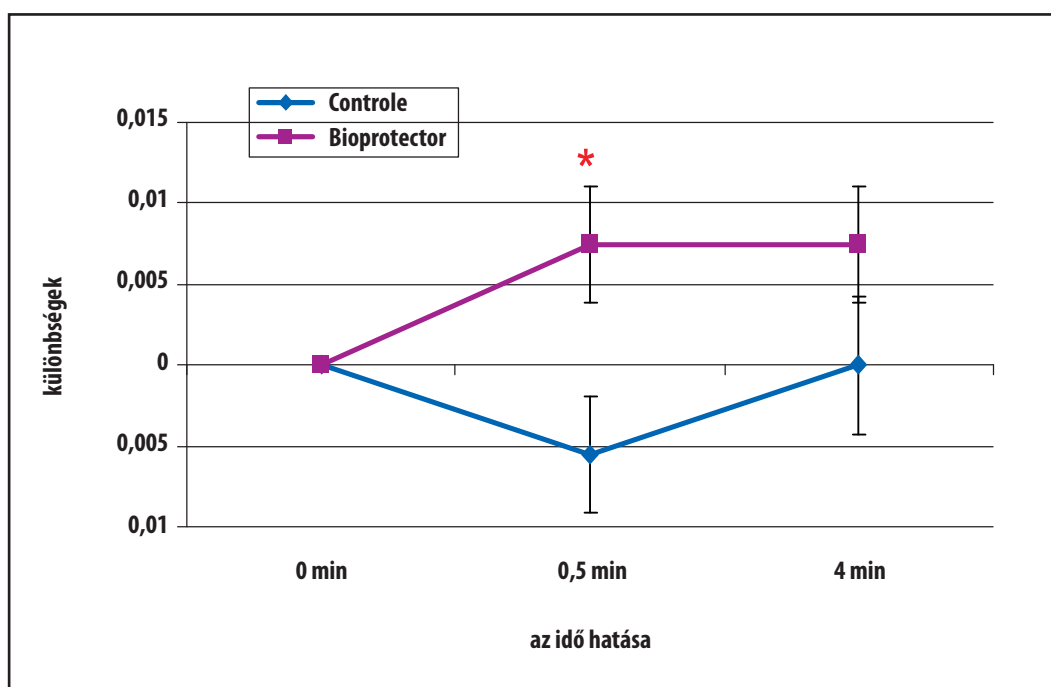


A közeli tér mérései (6. ábra) statisztikailag szignifikáns különbséget ( $p \leq 0,2$ ) mutatnak a termék és az kontroll csoport között 0,5 perc után (6. ábra). Ha együtt vesszük a két időtartam (0,5 és 4 perc) mérési eredményeit, a különbség közel szignifikáns ( $p < 0,12$ ). A mérések végén a jel a kiinduló szintre erősödik vissza a kontroll csoportban 4 perc után. Az eredmények szignifikancia szintje alacsony, ezért a **Bioprotector** a közeli mezőre gyakorolt hatását óvatosan lehet megállapítani.

Az eredmények azt mutatják, hogy a termék inkább védő hatással rendelkezik, amely nem befolyásolja jelentős mértékben az emberi biomező tevékenységét.

A fenti módszerrel vizsgált önkéntesektől megkérdeztük, hogy érzik-e a változásokat a termék jelenlétében, ill. távollétében. Legtöbbjük nem érzett változást, a pozitív válaszok aránya 19%-os volt. Ezen pszichológiai tesztből származó pontok bónuszpontoknak számítanak..

**6. ábra. A közeli (a test közelében levő) mező mérései.** A jel változásának átlagértékét ábrázolja a termék jelenlétében, ill. távollétében. A függőleges fekete vonalak a standard hibát ábrázolják (variabilitás az egyes vizsgált személyek közötti különbségekben). A csillag a statisztikailag szignifikáns különbséget jelöli a két eredmény között 0,5 perc után ( $p \leq 0,05$ ).



## BIOLÓGIAI ÉRZÉKELŐ RENDSZER

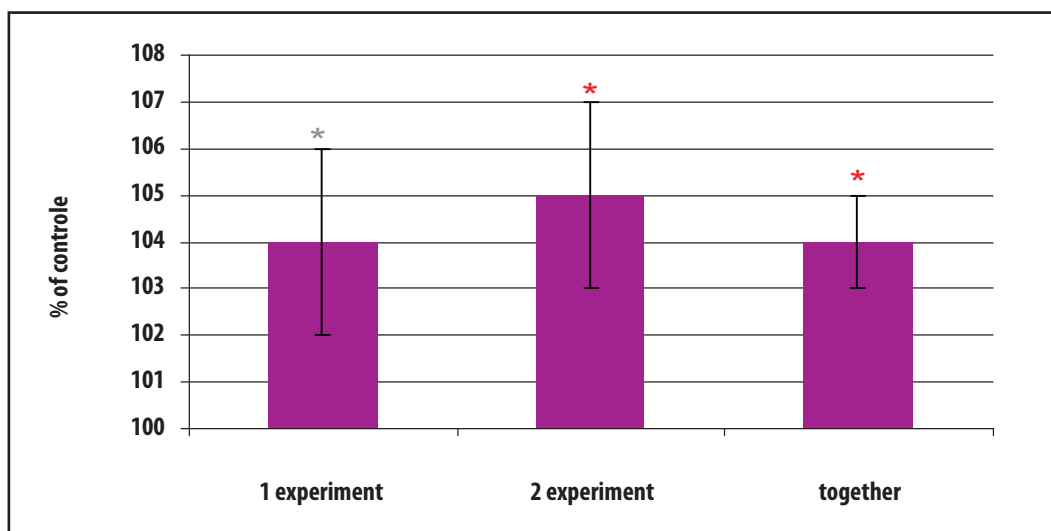
Ebben a vizsgálatban ugyanolyan vizet használtunk, mint az elektro-fotográfiai vizsgálatban, és a kontroll (az üres doboz hasátának kitett) vízzel hasonlítottuk össze. A két doboz közötti távolság több mint 7 m volt. A víz segítségével kerti zsáza magokat ültettünk, melyeket másnap hőstressznek tettünk ki. Két nap elteltével megmértük a sziklevek hosszát. Az eredményeket feldolgoztuk statisztikai módszerekkel. A módszer tudományosan igazolt, részletes információ megtalálható a kutatási közleményekben és tudományos cikkekben (Ruzic, Jerman. *Electromagnetic Biology and Medicine* 21 (1), 2002).

A kutatások azt mutatják, hogy a **Bioprotector** hatásának kitett víz jelentős mértékben (kb. 4%-kal a szignifikáns hőstressznél) befolyásolja a biológiai érzékelő rendszer válaszát a kontroll vízhez képest. Az első kísérletben az eredmény csak közel állt a statisztikai szignifikanciához ( $p \leq 0,2$ ), a másodikban már szignifikáns volt ( $p \leq 0,03$ ). Ha a két kísérlet eredményeit összevonnuk, a különbség szintén szignifikáns ( $p \leq 0,02$ ). Az eredményeket az 1. sz. táblázat és a 7. sz. ábra foglalja össze.

**1. sz táblázat:** A víz hatása a biológiai érzékelő rendszer növekedésére a **Bioprotector** csoportban - hőstressz-szel végzett standard kísérlet (K% - a különbség a kontrollhoz képest, ahol a kontroll érték 100%;; AV – a sziklevek hosszának átlagértéke; SD – szórás (standard deviation = standard deviáció = standard eltérés); N – a csíráztatott és mért sziklevek száma; p-statisztikai szignifikancia (a különbség statisztikailag szignifikáns, ha  $p \leq 0,05$ ).

	AV	%K	SD	N	p
1. sz. vizsgálat B	20,8	104	4,6	177	0,18
k	20,0		5,6	183	
2. sz. vizsgálat B	20,8	105	4,5	186	0,03
k	19,8		4,3	181	
Együttvéve B	2,8	104	4,6	363	0,02
K	19,9		5,0	364	

**7. sz. ábra.** A sziklevek növekedése az öntözővíz típusától függően. A függőleges fekete vonalak a standard hibát jelölik (a sziklevek mérési eredményeinek variabilitása). A csillag a statisztikai szignifikancia szintet jelöli a sziklevek hosszának átlagértékei között **Bioprotector** és a kontroll csoportban (szürke:  $p = 0,2$ ; 1 piros:  $p = 0,05$ ).

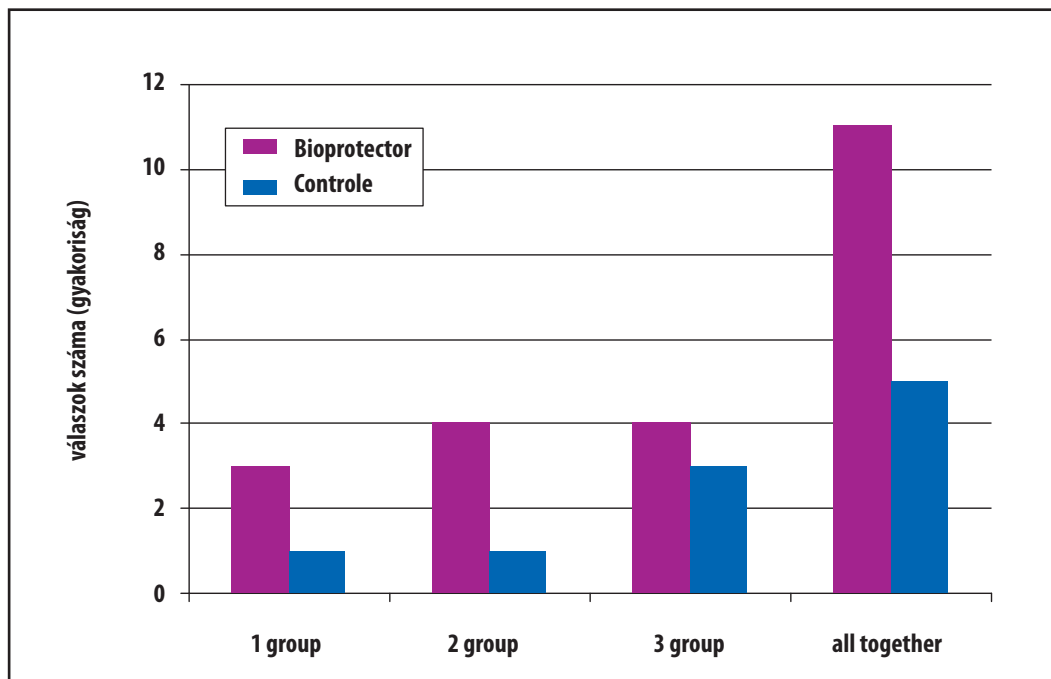


## ÖNKÉNTESÉKEN VÉGZETT VIZSGÁLATOK

Kiválasztott, a finom sugárzásra érzékeny önkéntesek három csoportjában (összesen 25 fő) vizsgálták a Bioprotector-, ill. az üres dobozt ügyelve arra, hogy a dobozok közötti távolság legalább 7 m legyen. Mindkét dobozt becsomagolák, és kódokkal látták el, így sem az önkéntesek, sem a vizsgálati koordinátor nem tudta, melyik dobozban mi van (kettős-vak vizsgálat). Az érzelmeket és az érzéseket kézzel tapasztalták speciális előírások (protokol) betartásával.

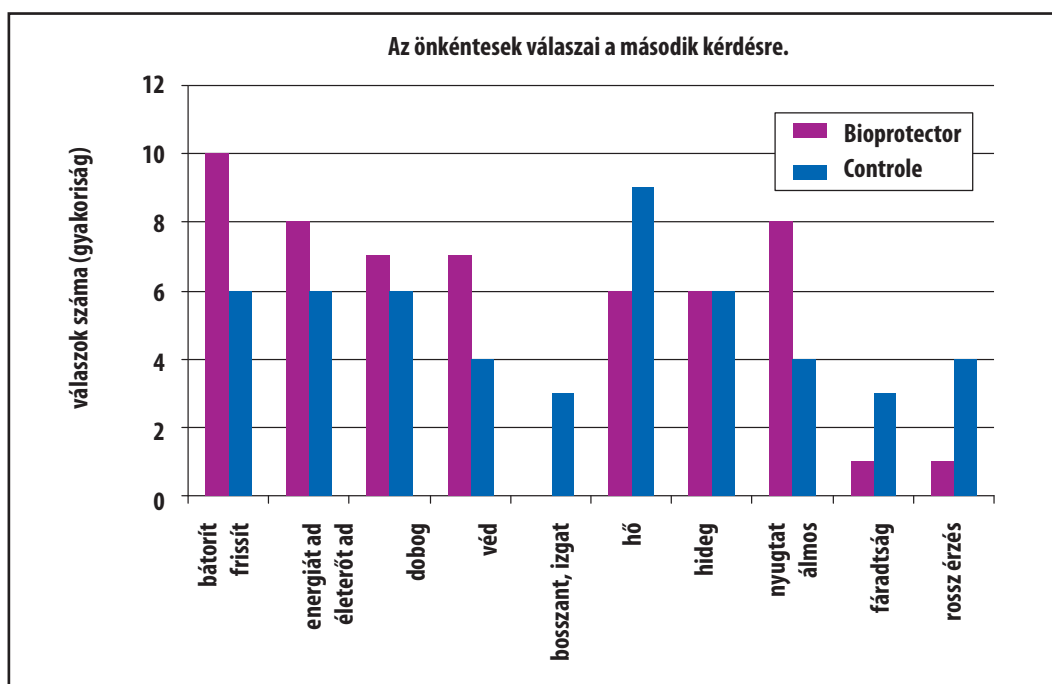
Ezután az önkéntesek kitöltötték az előre összeállított kérdőívet. Az első kérdés célja annak a megállapítása volt, hogy az önkéntesek érzik-e a különbséget a dobozok között, valamint milyen az általános benyomásuk. A válaszok elemzéséből kiderült, hogy az önkéntesek érzik a különbséget a két eszköz között alacsony statisztikai szignifikancia mellett. Utána a  $H_i^2$ -próbát alkalmaztuk ( $p \leq 0,13$ ), amelynél az önkéntesek érzékelik a **Bioprotector** pozitív energiáját (rezeg, energiát ad, életerőt és/vagy energiát ad). A különböző szintű tapasztalattal rendelkező csoportok válaszait a 8. sz. ábra szemlélteti.

**8. sz. ábra:** Az önkéntesek száma, akik az alábbiakat érzékelték: rezeg, energiát ad, életerőt és/vagy energiát ad (az első kérdésre adott válaszok száma)



A második kérdésben arra kértük az önkénteseket, hogy pontosabban írják le mindegyik mintához kapcsolódó érzéseiket. A válaszok részletes elemzéséhez csoportosítottuk a hasonló érzéseket (mint nyugodt, álmos, fáradtság, rossz érzés). Megállapítottuk, hogy ezek nem véletlen válaszok, mint ahogy a  $H_i^2$ -próba eredményei alacsony szignifikancia szintet mutattak ( $p \leq 0.13$ ). Kiderült az is, hogy van különbség a két csoport (**Bioprotector** és kontroll) olyan érzelmekre adott válaszaiban, mint „energiát ad, életerőt ad és élenkít”, amely a Student t-próba alapján alacsony szignifikancia szinttel rendelkezik ( $p \leq 0.12$ ). A 9. sz. ábra a válaszok számát szemlélteti a két csoportban.



**9. sz. ábra:****ÉRTELMEZÉS ÉS KÖVETKEZTETÉS**

Az eredmények azt mutatták, hogy a **Bioprotector** saját biomezőt hoz létre. Ezenkívül, csökkenti a környezet negatív hatását, csökkenti a kisugárzott energia intenzitását és nyugtatja a környezetet. Ily módon védi az emberi biomezőt a környezet finom energetikai hatásaitól. A **Bioprotector** maga energetikailag semleges.

Az EMADDEL vizsgálati módszer segítségével kimutattuk, hogy erősödik a jel a kontakt szenzorokban és emelkednek a mérések értékei a közeli mezőkön. Az eredmények alacsony szignifikancia szintet értek el. A **Bioprotector** nem befolyásolta a Biomező aktivitását.

A **Bioprotector** statisztikailag szignifikáns hatást gyakorolt a biológiai szenzorra, a hatás mértéke 4%-os volt. Önkénteseken végzett vizsgálatok kimutatták, hogy az érzékeny emberek a **Bioprotector** pozitív energetikai hatását érzékelik (olyan válaszok formájában, mint frissít, életerőt és/vagy energiát ad, nyugtat).

Tapasztalattal rendelkező emberek esetén jobb eredményeket lehet elérni. Ezek a válaszok, valamint az Emadel eredményei mutatják, hogy a **Bioprotector** bizonyos mértékben megvédi az embereket a környezet stresszhatásaitól, ezzel nő az energiaszint és a nyugalom.

Összefoglalva, a **Bioprotector** a biomező védelmén keresztül hat a környezetre, és nem befolyásolja a biomező aktív fejlesztését (aktivitását).

A **Bioprotector** segít az embereket enyhíteni a stresszt azzal, hogy több saját energiát (biomezőt) tart meg és megnyugtatja a szervezetet. A biológiai szenzorra gyakorolt magasan szignifikáns hatása megerősíti ezt az állítást

## PONTSZÁM ÉS TANUSÍTVÁNY

A „BIOPROTECTOR egészség-harmonizáló” termék az alábbi pontszámokat érte el a különböző vizsgálati módszerek alapján:

Elért pontszámérték	Maximális pontszám
Elektro-fotográfia	
10	15
EMADEL teszt	
6	10
Biológiai szenzor teszt- bónus pontok	
4	4
Önkénteseken végzett vizsgálat	
3	5
Összpontszám	
23	30
Összpontszám/max. pontszám	
77%	100%

Az alábbi kritériumrendszer értelmében, a fenti eredmény (a maximális összpontszám-érték 77%-a) alapján a termék megfelel a II. osztályhoz való besorolást igazoló tanusítvány kiadásának követelményeinek.

Kritériumrendszer:

Az. I. osztályhoz való besorolás követelménye a maximális pontszám min. 90%-a

A. II. osztályhoz való besorolás követelménye a maximális pontszám min. 75%-a

A. III. osztályhoz való besorolás követelménye a maximális pontszám min. 60%-a

**A „BIOPROTECTOR EGÉSZSÉG-HARMONIZÁLÓ” termék megkapja a  
KÖZÖSSÉGI KÖRNYEZETI SUGÁRZÁS NEMKÍVÁNATOS HATÁSAI  
ELLENI VÉDELEMRŐL SZÓLÓ TANUSÍTVÁNYT a II. osztályban (Class II)**

## REFERENCIÁK:

Škarja M (2007): Kvantna teorija polja, možgani, zavest, V: Information society. Informacijska družba IS 2007. (eds. Bohanec M, Gams M, Rajkoviè V, Urbanè T, Bernik M, Mladenè D, Grobelnik M, Herièko M, Kordeš U, Markiè O). Ljubljana, Slovenia, 8-12. oktober, pp. 322-325.

Jerman I (2007): The nature of Biofield. In: »Measuring Energy Fields« (ed. Kononenko I), Proceedings of International Scientific Conference. Kamnik, Tunjice October 13-14, 2007, p.8. Škarja M (2007): Electrophotography – the method for revealing the subtle states of water and environment. In: »Measuring Energy Fields« (ed. Kononenko I), Proceedings of International Scientific Conference. Kamnik, Tunjice October 13-14, 2007, pp.23-26.

Krašovec R, Jerman I, Škarja M (2007): Molecular imprinting into water by means of strong electric field and its effects on humans. In: »Measuring Energy Fields« (ed. Kononenko I), Proceedings of International Scientific Conference. Kamnik, Tunjice October 13-14, 2007, pp.31-34.

Jerman I (2007): Physical and Biological meaning of Biofield. In: »Measuring Energy Fields« (ed. Kononenko I), Proceedings of International Scientific Conference. Kamnik, Tunjice October 13-14, 2007, pp.40-47.

Leskovar RT (2007): Digital visualization of the biofield by means of light oscillation analysis. In: »Measuring Energy Fields« (ed. Kononenko I), Proceedings of International Scientific Conference. Kamnik, Tunjice October 13-14, 2007, pp. 52-55.

Škarja M (2007): Near Field based Measurements of Biofield of Organisms and in Nature. In: »Measuring Energy Fields« (ed. Kononenko I), Proceedings of International Scientific Conference. Kamnik, Tunjice October 13-14, 2007, pp.56-59.

Leskovar RT (2007): Biophoton field – properties and application. In: »Measuring Energy Fields« (ed. Kononenko I), Proceedings of International Scientific Conference. Kamnik, Tunjice October 13-14, 2007, pp.79-82.

Testne metode za pridobitev certifikata kakovosti biopolja. Strokovni seminar domaèih udeležencev. Brez natasa.

Organiziral Inštitut BION, Ljubljana 9. junij.2007. Predavatelji: Lovreè B, Jerman I, Škarja M, Ružie` R.

Jerman I (2006): Homoeopathy and digital biology. Homoeo Times 3(1): 21-24

Škarja M, Jerman I, Leskovar RT (2006): Realna moè zavesti. (eds. Bohanec M, Gams M, Rajkoviè V, Urbanè T, Bernik M, Mladenè D, Grobelnik M, Herièko M, Kordeš U, Markiè O, Musek J, Osredkar M, Kononenko I, Škarja Novak B). Ljubljana, Slovenia, October 9-14, pp.369-371.

Jerman I, Ružie` R Krašovec R. Škarja M Mogilnicki L (2005): Electrical transfer of molecule information into water, its storage and bioeffects on plants and bacteria. Electromagnetic Biology and Medicine 24(3): 341-354.

Leskovar RT, Jerman I, Škarja M (2005): Near-field influence of organism's endogenous electromagnetic field on environmental light particles. In: Coherence and electromagnetic fields in Biological Systems. Frölich Centenarian Symposium, Abstract book, Prague July 1-4, 2005, pp.74-73

Škarja M, Jerman I, Leskovar RT (2005): Changes of electric potential of sensors due to near field contact with organisms. in Biological Systems. Frölich Centenarian Symposium, Abstract book, Prague July 1-4, 2005, pp.76-78.

Jerman I, Ružie` R, Škarja M, Leskovar RT (2005): New sensor for possible measurement of bioplasma state of organisms. In: Coherence and electromagnetic fields in Biological Systems. Frölich Centenarian Symposium, Abstract book, Prague July 1-4, 2005, pp. 97-98.

Ružič R, Škarja M, Jerman I (2005): Biological effects of electromagnetic information imprinted into water. In: Coherence and electromagnetic fields in Biological Systems. Frölich Centenarian Symposium, Abstract book, Prague July 1-4, 2005, pp. 143-145.

Krašovec R, Jerman I, Škarja M (2005): Electromagnetic information imprinted into medium acts as environmental signal for bacteria *Escherichia coli*. In: Coherence and electromagnetic fields in Biological Systems. Frölich Centenarian Symposium, Abstract book, Prague July 1-4, 2005, pp. 146-148.

Berden M, Jerman I, Škarja M (1997): Indirect instrumental detection of ultraweak, supposedly electromagnetic radiation from organisms. *Electro and Magnetobiology* 16(3): 249-266.

Leskovar RT, Škarja M, Jerman I (2003): Detection of biofield – ambient light interactions. Kognitivna konferenca. (ur. Kononenko I, Jerman I). Zbornik 6. mednarodne multikonference Informacijska družba 2003. Ljubljana, Slovenija, str. 12-15.

Leskovar RT, Škarja M, Jerman I (2003): Photographing biofields. 13. mednarodni festival znanosti, Orkney. Ružič R, Jerman I (2002): Weak magnetic field decreases heat stress in cress seedlings. *Electromagnetic Biology and Medicine* 21(1): 43-53.

Škarja M, Berden M, Jerman I (1998). The influence of ionic composition of water on the corona discharge around water drops. *Journal of Applied Physics* 84(5): 2436-2442.

Škarja M, Jerman I, Ružič R (2002): Some evidence that organisms' endogenous field may influence ambient light (predhodno poročilo). Mednarodni simpozij o endogenih fizikalnih poljih v biologiji, Praga, Češka republika. str. 74-75.